

بنچین گنفراش تخصصی خطاگات و کنترل سیستم‌های قدرت  
تهران - دانشکده برق و کامپیوتر دانشگاه شهید بهشتی  
۱۳۸۹/۰۲/۲۵



دانشگاه شهید بهشتی  
تهران



دانشگاه شهید بهشتی  
تهران

چهارشنبه ۱۳۹۱/۱/۲۲

مکان: دانشکده برق کلاس (۱)

عنوان مقاله	زمان ارائه	ارائه دهنده	زمان ارائه	ارائه دهنده
ارائه دهنده خطاگات پیش‌بینی پنهان در شبکه تووزی	۰۹:۴۵-۰۹:۰۵	حسن جنتی	۰۹:۴۵-۰۹:۰۵	حسن جنتی
ایجاد دوش بین اینجانی چیز پنهان خطا در شبکه تووزی	۰۹:۰۵-۰۹:۰۵	محسن جنتی	۰۹:۰۵-۰۹:۰۵	محسن جنتی
یک روش برای تشخیص نویه ها	۰۹:۰۵-۰۹:۰۵	مهدی خادمی	۰۹:۰۵-۰۹:۰۵	مهدی خادمی
یک روش مناسب برای تشخیص خطاگات اینجانی بالا در سیستم	۰۹:۰۵-۰۹:۰۵	مهدی خادمی	۰۹:۰۵-۰۹:۰۵	مهدی خادمی
توزن قدرت پرسان آنلاین هموکی های چیزیان که پنهان شدند	۰۹:۰۵-۰۹:۰۵	روشن قدرت	۰۹:۰۵-۰۹:۰۵	روشن قدرت
شیوه تشخیص و تخصیص میزان خطا استخوار موثره انسان با	۰۹:۰۵-۰۹:۰۵	احسان غیربر رضا	۰۹:۰۵-۰۹:۰۵	احسان غیربر رضا
پذیرشی سیبل موجک و شیوه عصبی - فلزی	۰۹:۰۵-۰۹:۰۵	مجید اغاسی	۰۹:۰۵-۰۹:۰۵	مجید اغاسی
Removal of Decaying DC Component in Current Signal Using a Novel Estimation Algorithm	۰۹:۰۵-۰۹:۰۵	ابوالفضل مصطفی	۰۹:۰۵-۰۹:۰۵	ابوالفضل مصطفی
A New High-Speed Fault Detection Scheme for Transmission Line Based on Traveling Wave	۰۹:۰۵-۰۹:۰۵	رزو زاده	۰۹:۰۵-۰۹:۰۵	رزو زاده

مکان: دانشکده برق کلاس (۲)

عنوان مقاله	زمان ارائه	ارائه دهنده	زمان ارائه	ارائه دهنده
ارائه دهنده خطاگات پیش‌بینی خطا در شبکه تووزی	۰۸:۴۵-۰۸:۰۵	مسعود خادمی	۰۸:۴۵-۰۸:۰۵	مسعود خادمی
ایجاد خطاگات پیش‌بینی خطا در شبکه تووزی	۰۸:۰۵-۰۸:۰۵	پسر دامجی	۰۸:۰۵-۰۸:۰۵	پسر دامجی
تلخون خوش بروزی عنصر خطاگات پیش‌بینی خطاگات با در	۰۷:۱۵-۰۷:۰۵	علی عالقی	۰۷:۱۵-۰۷:۰۵	علی عالقی
تلخون اینجانی محدوده جریان خطا در محدوده این جریان	۰۷:۰۵-۰۷:۰۵	افسان آذری	۰۷:۰۵-۰۷:۰۵	افسان آذری
در شیوه توزنی پردازه جهت حفظ هماهنگی رله های اضافه جریان	۰۷:۰۵-۰۷:۰۵	سعید فلاح زاده	۰۷:۰۵-۰۷:۰۵	سعید فلاح زاده
ارائه محدوده جریان خلائی روزانه در بهبود عملکرد روزانه	۰۷:۰۵-۰۷:۰۵	دانشکده برق کارخان	۰۷:۰۵-۰۷:۰۵	دانشکده برق کارخان

### برنامه زمانی پیش‌بینی کنفرانس تخصصی خطاگات و کنترل سیستم

#### های نقدت دانشگاه شهید بهشتی

سه شنبه ۱۳۹۱/۱/۱۱

افتتاحیه سه شنبه ۱۳۹۱/۱/۱۱

از ساعت ۹ الی ۱۱ در سالن خوارزی مرکز دانشگاه شهید بهشتی

نشست (۱) : مخطط دانشگاه و دیوانلسل

عنوان مقاله	ارائه دهنده	زمان ارائه
همهگانی رله های خطاگات در سیستم خطاگات	حسین محمدی	۱۱:۱۵-۱۱:۰۵
الگوریتم جدید برای جزئیات خطاگات	لایق بیرونی	۱۱:۱۵-۱۱:۰۵
نمایه دادن	علیورتا مادری	۱۱:۰۵-۱۱:۰۵
دانشگاه چهل هزاری قدرت با استفاده از سیستمی آموزش دینی با الگوریتم جستجوی گونه براساس شیوه و دید فتحی	الگوریتم جدید خطاگات واحد خلط خطاگات کوتاه براساس شیوه	۱۱:۰۵-۱۱:۰۵
دانشگاه چهل هزاری قدرت در خطاگات دیوانلسل نویان خطاگات انتقال جریان	مهمی دایی زاده	۱۱:۰۵-۱۱:۰۵

عنوان کارگاه	ارائه دهنگان	زمان ارائه	محل ارائه
سیستم زمین و سیمی ای ان	دکتر کاظمی کاربر	۱۱:۱۵-۱۱:۱۵	دانشکده برق کارخان
نویسندگان ای ان	مهندی عزیز دکتر	۱۱:۱۵-۱۱:۱۵	دانشکده برق کارخان
دانشگاه شهید بهشتی	دانشگاه شهید بهشتی	۱۱:۱۵-۱۱:۱۵	دانشگاه شهید بهشتی
DGS	نیزرو	۱۱:۱۵-۱۱:۱۵	دانشگاه شهید بهشتی



انجمن مهندسین برق و الکترونیک ایران  
شاخه تهران

## پنجمین کنفرانس تخصصی حفاظت و کنترل سیستمهای

### قدرت

تهران - دانشکده برق و کامپیوتر دانشگاه شهید بهشتی ۲۱ و ۲۲ دی ماه ۱۳۸۹



دانشکده مهندسی برق و کامپیوتر

# تأثیر نرخ خرابی عنصر حفاظت‌شونده و مدار تست‌های خودبازبینی و مانیتورینگ بر روی زمان بهینه تست دوره‌ای سیستم حفاظتی با در نظر گرفتن احتمال خرابی سیستم حفاظت پشتیبان

جواد ساده

دانشیار گروه برق

sadeh@um.ac.ir

دانشگاه فردوسی مشهد، دانشکده مهندسی، مشهد، ایران

یاسر دامچی

دانشجوی دکتری برق-قدرت

damchi@ieee.org

واژه‌های کلیدی: تست خودبازبینی، تست مانیتورینگ، حفاظت پشتیبان، زمان بهینه تست دوره‌ای، عنصر حفاظت‌شونده

حفظات پشتیبان برای تعیین زمان بهینه تست دوره‌ای سیستم حفاظتی ارائه شده است. همچنین در مدل مارکوف پیشنهادی

امکان انجام تست‌های خودبازبینی<sup>۱</sup> و مانیتورینگ<sup>۲</sup> نیز لحاظ شده است. نتایج نشان می‌دهد که پارامترهای فوق، تأثیر قابل توجهی بر روی زمان بهینه تست دوره‌ای سیستم حفاظتی دارند.

### ۱- مقدمه

امروزه نقش سیستمهای حفاظتی در افزایش قابلیت اطمینان سرویس‌دهی به مصرفکنندگان صنعتی، تجاری و خانگی با توجه به گسترش شبکه‌های قدرت، نسبت به گذشته از اهمیت

چکیده - تست دوره‌ای سیستمهای حفاظتی نقش تعیین‌کننده‌ای در حفظ قابلیت اطمینان این سیستمهای در سطح مطلوب دارد. از طرفی دیگر برای کاهش هزینه‌های نگهداری و تعمیرات سیستمهای حفاظتی و افزایش بیشتر قابلیت اطمینان این سیستمهای، تعیین هر چه دقیق‌تر زمان بهینه تست دوره‌ای ضروری است. در بیشتر مطالعاتی که تاکنون در این زمینه انجام شده، احتمال خرابی برای سیستم حفاظت پشتیبان لحاظ نشده است. بنابراین در این مقاله تأثیر پارامترهایی چون نرخ خرابی عنصر حفاظت‌شونده و نرخ خرابی مدار تست‌های خودبازبینی و مانیتورینگ سیستم حفاظت پشتیبان بر روی زمان بهینه تست دوره‌ای سیستم حفاظتی مورد ارزیابی قرار گرفته است. یک مدل مارکوف پیشنهادی. با در نظر گرفتن احتمال خرابی برای سیستم

<sup>۱</sup> - Self-checking test

<sup>۲</sup> - Monitoring test

# پنجمین کنفرانس تخصصی حفاظت و کنترل سیستمهای

## قدرت

تهران - دانشکده برق و کامپیوتر دانشگاه شهید بهشتی و ۲۱ دی ماه ۱۳۸۹

انجمن مهندسین برق و الکترونیک ایران  
شاخه تهران

همانگونه که اشاره شد، یکی از راههای بهبود قابلیت اطمینان سیستم حفاظتی، انجام تست دوره‌ای است. تاکنون مطالعات زیادی در این زمینه انجام شده است که در ادامه به آن‌ها اشاره می‌شود. مرجع [۶] زمان بهینه تست دوره‌ای را بدون در نظر گرفتن تست‌های خودبازبینی و مانیتورینگ تعیین کرده است. در این مرجع، رله پشتیبان کاملاً قابل اطمینان فرض شده است. در مرجع [۷] زمان بهینه تست دوره‌ای سیستم حفاظتی خط انتقال با فرض اینکه احتمال خرابی رله پشتیبان صفر می‌باشد، تعیین شده است. در این مرجع فرض شده است که فقط امکان تست خودبازبینی وجود دارد. مرجع [۸] به بررسی تأثیر تعمیرات پیشگیرانه بر روی قابلیت اطمینان سیستم حفاظت سیستم توزیع پرداخته است. مرجع [۹] تغییرات هزینه تعمیرات را با توجه به فرکانس انجام تعمیرات برای مقادیر متفاوت شاخص تأثیرگذاری تعمیرات تعیین نموده است. البته این مرجع در انجام محاسبات، تأثیر سیستم‌های حفاظت اصلی و پشتیبان را لحاظ نموده است. مرجع [۱۰] بدون در نظر گرفتن احتمال خرابی برای سیستم حفاظت پشتیبان و با فرض امکان انجام تست خودبازبینی برای سیستم‌های حفاظتی پایلوت، زمان بهینه تست دوره‌ای این سیستم‌ها را تعیین نموده است. در مراجع [۲] و [۱۱] به ترتیب زمان بهینه تست دوره‌ای سیستم حفاظتی خط انتقال و ترانسفورماتور با در نظر گرفتن شاخص‌های تأثیرپذیری متفاوت برای تست‌های خودبازبینی و مانیتورینگ تعیین شده و همچنین چگونگی تغییرات زمان بهینه تست خودبازبینی با تغییر شاخص تأثیرپذیری تست خودبازبینی بررسی شده است. البته شایان ذکر است که در این مراجع سیستم حفاظت پشتیبان کاملاً قابل اطمینان فرض شده است. مرجع [۱۲] زمان بهینه تست دوره‌ای سیستم حفاظتی را با حداقل نمودن شاخص متوسط ضرر اقتصادی سالیانه سیستم حفاظتی و با فرض اینکه سیستم حفاظت پشتیبان کاملاً قابل اطمینان می‌باشد تعیین کرده است. در مراجع [۱۳] و [۱۴] زمان بهینه تست دوره‌ای سیستم حفاظتی خط انتقال

بیشتری برخوردار شده است. بنابراین سیستم‌های حفاظتی باید از قابلیت اطمینان مطلوبی برخوردار باشند، تا عملکرد مناسب در هنگام بروز خطأ و عدم عملکرد در صورت عدم وقوع خطأ در شبکه قدرت داشته باشند.

قابلیت اطمینان سیستم‌های حفاظتی در دو بخش قابلیت اتکا<sup>۱</sup> و امنیت<sup>۲</sup> تقسیم‌بندی می‌شود. قابلیت اتکا به عنوان احتمال عملکرد صحیح رله یا سیستم حفاظت رله‌ای در هنگام نیاز برای رفع خطأ، تعریف می‌شود. امنیت حاکی از احتمال عدم عملکرد رله یا سیستم حفاظت رله‌ای در شرایطی که نیاز به عملکرد نمی‌باشد، است [۱ و ۲]. قابل ذکر است که قابلیت اتکا هنگامی دارای معنا و مفهوم می‌باشد که خطأ در داخل ناحیه حفاظتی رخ دهد، در حالیکه امنیت برای خطاهای خارج ناحیه حفاظتی، شرایط عملکرد نرمال (غیر خطأ) و یا بهره‌برداری از سیستم تحت تنش، دارای مفهوم است [۳].

یکی از عوامل اصلی خروجی‌های متواالی در شبکه قدرت، خرابی سیستم‌های حفاظتی است [۴]. در مطالعه‌ای که توسط موسسه NERC<sup>۳</sup> انجام شده، بیان شده است که سیستم‌های حفاظتی در بروز حدود ۷۵ درصد از اغتشاشات اصلی دخیل هستند. به طور مثال می‌توان از خاموشی شمال آمریکا در نوامبر ۱۹۶۵ و یا از دو خاموشی گسترده که در شبکه WSCC<sup>۴</sup> در جولای و اگوست ۱۹۹۶ رخ داده‌اند، نام برد [۵]. بنابراین افزایش قابلیت اطمینان سیستم حفاظتی نقش بسزایی برای کاهش خودآشی مشابه حوادث فوق در شبکه قدرت دارد. برای افزایش قابلیت اطمینان سیستم حفاظتی چندین روش وجود دارد، که عبارتند از: تست دوره‌ای، تست خودبازبینی و تست مانیتورینگ، افزونگی در داخل سیستم حفاظتی و بکارگیری حفاظت پشتیبان محلی و دور [۶].

۱ - Dependability

۲ - Security

۳ - North American Electric Reliability Council

۴ - Western System Coordinating Council



## پنجمین کنفرانس تخصصی حفاظت و کنترل سیستمهای

### قدرت



دانشکده مهندسی برق و کامپیوتر

اتجمن مهندسین برق و الکترونیک ایران  
شاخه تهران

تهران - دانشکده برق و کامپیوتر دانشگاه شهید بهشتی و ۲۱ و ۲۲ دی ماه ۱۳۸۹

$$pP = p \quad (1)$$

در رابطه (۱)،  $P$  ماتریس گذار حالت سیستم و  $p$  بردار احتمال حالت‌های مدل مارکوف می‌باشد.

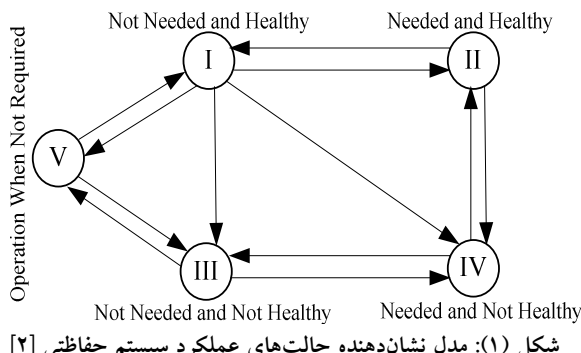
برای تشکیل ماتریس گذار حالت سیستم از رابطه (۲) استفاده می‌شود که در این رابطه،  $a_{ij}$  نشان‌دهنده نرخ گذار از حالت  $i$  به حالت  $j$  است.

با توجه به ساختار ماتریس  $P$  معادلات تشکیل شده در رابطه (۱) دارای وابستگی خطی می‌باشند و بنابراین برای حل آن نیاز به معادله کمکی (۳) می‌باشد.

$$\sum_i p_i = 1 \quad (3)$$

در معادله (۳)،  $p_i$  درایه‌های بردار  $p$  هستند. این معادله بیان‌گر این موضوع است که مجموع احتمال حالت‌های تشکیل دهنده فضای حالت مارکوف برابر یک می‌باشد.

مدل مارکوف پنج حالته شکل (۱) برای مدل‌سازی سیستم حفاظتی در نظر گرفته شده است. این مدل دو مد خرابی برای سیستم حفاظتی، یعنی عدم پاسخ سیستم حفاظتی، هنگامی که مورد نیاز است<sup>۱</sup> و عملکرد سیستم حفاظتی، هنگامی که مورد نیاز نمی‌باشد<sup>۲</sup>، را در نظر می‌گیرد [۲].



شکل (۱): مدل نشان‌دهنده حالت‌های عملکرد سیستم حفاظتی [۲]

<sup>۱</sup> - Not Responding When Required

<sup>۲</sup> - Operating When Not Required

با در نظر گرفتن احتمال خرابی برای سیستم حفاظت پشتیبان و امکان تست خودبازبینی تعیین شده است. در این مراجع به ترتیب فرض شده است که سیستم حفاظت پشتیبان از نظر زمانی

$$P = \begin{cases} P_{ij} = \sum_{i \neq j} a_{ij} & i \neq j \\ P_{ij} = 1 - \sum_{i \neq j} a_{ij} & i = j \end{cases} \quad (2)$$

پس از سیستم حفاظت اصلی و یا همزمان با آن تحت تست دوره‌ای قرار می‌گیرد.

در این مقاله چگونگی تغییرات زمان بهینه تست دوره‌ای سیستم حفاظتی با تغییر نرخ خرابی عنصر حفاظت‌شونده و نرخ خرابی مدار تست‌های خودبازبینی و مانیتورینگ سیستم حفاظت پشتیبان، ارزیابی شده است. از روش مدل‌سازی مارکوف برای تعیین زمان بهینه تست دوره‌ای سیستم حفاظت خط انتقال با در نظر گرفتن احتمال خرابی برای سیستم حفاظت پشتیبان و با امکان انجام تست‌های خودبازبینی و مانیتورینگ، استفاده شده است. در مدل مارکوف پیشنهادی فرض شده است که سیستم‌های حفاظت اصلی و پشتیبان به طور همزمان تحت تست دوره‌ای قرار می‌گیرند.

### ۲- تعیین زمان بهینه تست دوره‌ای سیستم حفاظتی به کمک مدل مارکوف پیشنهادی

در این مطالعه برای تعیین زمان بهینه تست دوره‌ای سیستم حفاظتی از روش مدل‌سازی مارکوف و با لحاظ نمودن احتمال خرابی برای سیستم حفاظت پشتیبان، استفاده شده است. برای محاسبه احتمال حالت‌های تشکیل دهنده مدل مارکوف، ابتدا باید ماتریس گذار حالت سیستم مورد مطالعه تشکیل شود و سپس با توجه به رابطه (۱) احتمال مربوط به حالت‌های سیستم محاسبه گردد [۱۵]:



## پنجمین کنفرانس تخصصی حفاظت و کنترل سیستمهای

### قدرت

اتچمن مهندسین برق و الکترونیک ایران  
شاخه تهران

تهران - دانشکده برق و کامپیوتر دانشگاه شهید بهشتی و ۲۱ دی ماه ۱۳۸۹



دانشکده مهندسی برق و کامپیوتر

سیستم حفاظتی، هدف این است که تابع احتمال مرتبط با حالت‌های مطلوب یعنی حالت‌های (۱) و (۲) حداقل و احتمالات مرتبط با حالت‌های (۳)، (۴) و (۵) که حالت‌های نامطلوب سیستم حفاظتی می‌باشند حداقل گردد.

برای تعیین زمان بهینه تست دوره‌ای سیستم حفاظتی باید مدل مارکوفی که مشکل از ترکیب حالت‌های متفاوت سیستم‌های حفاظتی و عنصر حفاظت‌شونده می‌باشد، تشکیل شده و در نهایت با توجه به مدل مارکوف تشکیل شده، احتمال حالت‌های مطلوب و نامطلوب شکل (۱) محاسبه گردد.

مدل مارکوف ۲۱ حالته شکل (۲) برای تعیین زمان بهینه تست دوره‌ای سیستم حفاظتی خط انتقال با لحاظ نمودن فرضیات زیر پیشنهاد شده است:

- امکان تست‌های خودبازبینی و مانیتورینگ برای سیستم‌های حفاظتی وجود دارد.
  - سیستم‌های حفاظت اصلی و پشتیبان، در مدت زمان تست دوره‌ای خارج از سرویس هستند.
  - انجام بازدید و یا وقوع خطا برای مشخص کردن خرابی سیستم حفاظتی لازم است.
  - بررسی سیستم‌های حفاظتی، همیشه خرابی‌ها را مشخص می‌کند و خود سبب خرابی نمی‌شود.
  - زمان مورد نیاز برای تست سیستم حفاظتی، برابر مدت زمان لازم برای تعمیر و یا جایگزینی سیستم حفاظتی خراب شده می‌باشد.
  - امکان تعمیر همزمان سیستم‌های حفاظت اصلی و پشتیبان وجود دارد.
  - در صورت عدم عملکرد سیستم حفاظت اصلی و پشتیبان برای رفع خطا، سیستم حفاظت پشتیبان لایه دوم با عملکرد مناسبی خطا را برطرف می‌نماید.
- چگونگی تشکیل مدل مارکوف پیشنهادی شکل (۲) به شرح زیر می‌باشد.

شکل (۱) را می‌توان به صورت زیر تشریح نمود:

یک سیستم حفاظتی بیشتر عمر خود را در حالت انرژی دار و سکون سپری می‌کند. در این حالت، سیستم حفاظتی در شرایط سالم به سر می‌برد و بر عناصر ناحیه حفاظتی خودش نظارت می‌کند، این حالت به عنوان "Not Needed and Healthy" شناخته می‌شود احتمال مربوط به این حالت نشان‌دهنده میزان دسترس پذیری<sup>۱</sup> به سیستم حفاظتی است.

در حالت "Needed and Healthy" سیستم حفاظتی وقتی که برای رفع خطا فراخوانده می‌شود، با موفقیت عمل می‌کند. در این حالت سیستم حفاظتی در شرایط سالم است و به هر شرایط غیرعادی مرتبط با عنصر حفاظت شونده پاسخ مناسب می‌دهد. احتمال مربوط با این حالت، درجه قابلیت اتکا به سیستم حفاظتی را نشان می‌دهد.

در حالت "Not Needed and Not Healthy" سیستم حفاظتی یا در حال تعمیر است و یا در شرایط غیرآماده به سر می‌برد. سیستم حفاظتی به دلیل اینکه یا خراب شده است و یا اینکه تحت تست خودبازبینی و یا تست دوره‌ای می‌باشد، آماده عملکرد نیست. این حالت می‌تواند تحت عنوان دسترس ناپذیری<sup>۲</sup> به سیستم حفاظتی نامیده شود.

در حالت "Needed and Not Healthy" خطأ در ناحیه حفاظتی رخ داده است، ولی سیستم حفاظتی برای رفع آن در دسترس نمی‌باشد. این حالت تحت عنوان دسترس ناپذیری غیر عادی<sup>۳</sup> به سیستم حفاظتی بیان می‌گردد.

در حالت "Operation when Not required" سیستم حفاظتی در شرایطی که نباید عمل کند، دارای عملکرد است. چنانچه احتمال مربوط به این حالت زیاد باشد، حاکی از درجه امنیت پایین سیستم حفاظتی می‌باشد.

با توجه به شکل (۱)، برای تعیین زمان بهینه تست دوره‌ای

<sup>۱</sup>- Availability

<sup>۲</sup>- Unavailability

<sup>۳</sup>-Abnormal Unavailability



می شود. همچنین اگر خرابی سیستم حفاظت پشتیبان به کمک تست خودبازبینی مشخص گردد، مدل از حالت (۱) به حالت (۷) انتقال می یابد. با انجام تست خودبازبینی مدل از حالت های (۵) و (۷) به حالت های به حالت های (۱۸) و (۱۹) جابجا می شود. در صورتی که تست دوره ای سبب مشخص شدن خرابی سیستم های حفاظت اصلی و پشتیبان شود، مدل به ترتیب برای سیستم های حفاظت اصلی و پشتیبان از حالت های (۴) و (۶) به حالت های (۱۸) و (۱۹) انتقال می یابد. مدل از حالت های (۱۸) و (۱۹) به ترتیب با تعمیر سیستم های حفاظت اصلی و پشتیبان به حالت (۱) بر می گردد. در حالت (۱۰) سیستم حفاظت اصلی و عنصر حفاظت شونده دچار خرابی شده و با عملکرد سیستم حفاظت پشتیبان، مدل به حالت (۱۲) انتقال می یابد. در حالت (۱۱) سیستم حفاظت پشتیبان و عنصر حفاظت شونده دچار خرابی شده و با عملکرد سیستم حفاظت اصلی، مدل به حالت (۱۳) می رود. چنانچه در حالت (۱۰) سیستم حفاظت پشتیبان و در حالت (۱۱) سیستم حفاظت اصلی دچار خرابی شوند، مدل به حالت (۱۵) متغیر می شود. مدل در حالت (۱۵) با عملکرد سیستم حفاظت پشتیبان لایه دوم، عنصر حفاظت شونده و عنصر اضافی متصل به آن از شبکه جدا شده و مدل به حالت (۱۴) انتقال می یابد. با جداسازی دستی عنصر اضافی، مدل از حالت (۱۴) به حالت (۱۷) متغیر شده و پس از تعمیر عنصر حفاظت شونده مدل به حالت (۱۶) انتقال می یابد و چنانچه در این حالت سیستم های حفاظت اصلی و پشتیبان تعمیر شوند، مدل به حالت (۱) بر می گردد.

وازگان اختصاری و نرخ های گذار موجود در مدل مارکوف پیشنهادی برای تعیین زمان بهینه تست دوره ای سیستم حفاظتی به

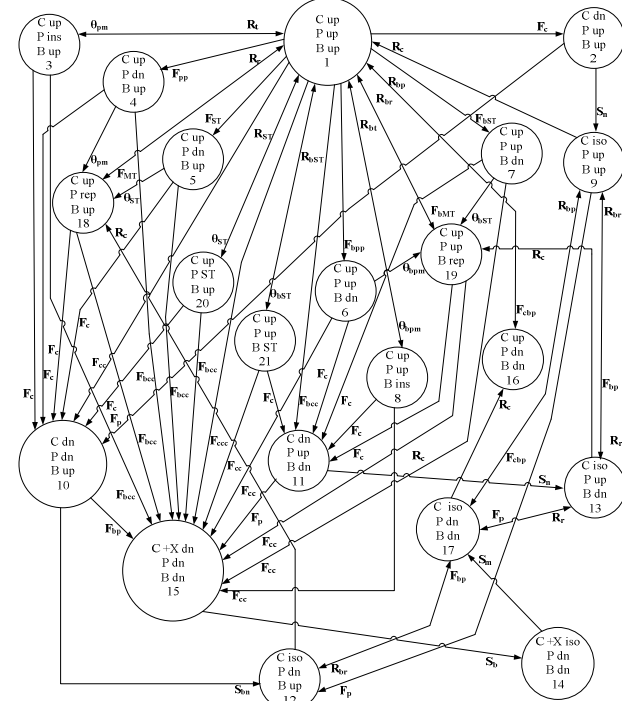
صورت زیر تعریف می شوند:

C : عنصر حفاظت شونده،

P : سیستم حفاظت اصلی،

B : سیستم حفاظت پشتیبان،

در حالت (۱) سیستم در شرایط نرمال است، در این حالت عنصر حفاظت شونده برق دار و سیستم حفاظت اصلی و پشتیبان در شرایط سالم هستند. وقتی خطای روی خط اتفاق بیفتد، مدل به حالت (۲) انتقال می یابد و با عملکرد سیستم حفاظت اصلی، عنصر حفاظت شونده جدا شده و مدل به حالت (۹) می رود. در حالت (۹) خط معیوب شده، تعمیر و دوباره برق دار می شود و مدل به حالت (۱) بر می گردد. در حالت (۳) سیستم حفاظت اصلی و در حالت (۸) سیستم حفاظت پشتیبان تحت تست دوره ای قرار می گیرند. هر گاه خرابی سیستم های حفاظتی توسط تست مانیتورینگ مشخص شود مدل برای سیستم حفاظت اصلی به حالت (۱۸) و برای حفاظت پشتیبان، به حالت (۱۹) متغیر می شود. سیستم های حفاظت اصلی و پشتیبان به ترتیب در حالت های (۲۰) و (۲۱) تحت تست خودبازبینی قرار می گیرند. هنگامی که خرابی سیستم حفاظت اصلی توسط تست خودبازبینی مشخص شود، سبب جابجایی مدل از حالت (۱) به حالت (۵)



شکل (۲): مدل مارکوف پیشنهادی برای سیستم حفاظتی و عنصر حفاظت شونده با لحاظ کردن امکان انجام تست های خودبازبینی و مانیتورینگ



# پنجمین کنفرانس تخصصی حفاظت و کنترل سیستم‌های

## قدرت

اتجمن مهندسین برق و الکترونیک ایران  
شاخه تهران

تهران - دانشکده برق و کامپیوتر دانشگاه شهید بهشتی ۲۱ و ۲۲ دی ماه ۱۳۸۹



دانشکده مهندسی برق و کامپیوتر

$R_{br}$  و  $R_p$ : به ترتیب نرخ تعمیر سیستم‌های حفاظت اصلی و پشتیبان (تعمیر بر واحد ساعت)،

$R_{bp}$ : نرخ تعمیر همزمان سیستم‌های حفاظت اصلی و پشتیبان (تعمیر بر واحد ساعت)،

$S_n$  و  $S_{bn}$ : به ترتیب عملکرد تریپ نرمال سیستم‌های حفاظت اصلی و پشتیبان بر ساعت (معکوس زمان رفع خطأ با سیستم‌های حفاظتی)،

$S_b$ : عملکرد تریپ نرمال سیستم حفاظت پشتیبان لایه دوم بر ساعت (معکوس زمان رفع خطأ با عملکرد مناسب سیستم حفاظت پشتیبان لایه دوم)،

$S_m$ : جداسازی دستی بر ساعت،

$\theta_{bpm}$  و  $\theta_{ppm}$ : به ترتیب نرخ انجام تست دوره‌ای سیستم‌های حفاظت اصلی و پشتیبان (معکوس فاصله زمانی تست دوره‌ای سیستم‌های حفاظت اصلی و پشتیبان)،

$\theta_{ST}$  و  $\theta_{bST}$ : به ترتیب نرخ انجام تست خودبازبینی سیستم‌های حفاظت اصلی و پشتیبان (معکوس فاصله زمانی و پشتیبان)، تست خودبازبینی سیستم حفاظت اصلی و پشتیبان،

ISO: نشان‌دهنده جداسازی عنصر حفاظت‌شونده و عنصر اضافی، INS: نشان‌دهنده تحت بازرسی بودن سیستم حفاظتی،

UP: نشان‌دهنده سالم بودن عنصر،

DN: نشان‌دهنده خراب بودن عنصر.

پارامترهای  $F_{ST}$ ,  $F_p$ ,  $F_{bp}$ ,  $F_{bMT}$ ,  $F_{MT}$ ,  $F_{bST}$ ,  $F_{pp}$  و  $F_{bpp}$  که در مدل مارکوف شکل (۲) وجود دارند به کمک معادلات (۴) محاسبه می‌شوند:

$$\begin{aligned} F_{ST} &= F_p \times ST_p \\ F_{MT} &= F_p \times MT_p \\ F_{pp} &= F_p \times (1 - ST_p - MT_p) \\ F_{bST} &= F_{bp} \times ST_b \\ F_{bMT} &= F_{bp} \times MT_b \\ F_{bpp} &= F_{bp} \times (1 - ST_b - MT_b) \end{aligned} \quad (4)$$

X: تجهیزات اضافی همراه با عنصر حفاظت‌شونده که به صورت دستی از شبکه جدا می‌شوند،

$F_p$  و  $F_{bp}$ : به ترتیب نرخ خرابی سیستم‌های حفاظت اصلی و پشتیبان (معکوس متوسط فاصله زمانی بین خرابی‌ها)،

$F_{bST}$  و  $F_{ST}$ : به ترتیب نرخ خرابی سیستم‌های حفاظت اصلی و پشتیبان مشخص شده توسط تست خودبازبینی،

$F_{bMT}$  و  $F_{MT}$ : به ترتیب نرخ خرابی سیستم‌های حفاظت اصلی و پشتیبان مشخص شده توسط تست مانیتورینگ،

$F_{bp}$  و  $F_{bpp}$ : به ترتیب نرخ خرابی سیستم‌های حفاظت اصلی و پشتیبان مشخص نشده توسط تست خودبازبینی و مانیتورینگ،

$F_c$ : نرخ خرابی عنصر حفاظت‌شونده (خرابی بر واحد ساعت)،

$F_{cc}$ : نرخ خرابی مشترک سیستم حفاظت اصلی و عنصر حفاظت‌شونده (خرابی بر واحد ساعت)،

$F_{bcc}$ : نرخ خرابی مشترک سیستم حفاظت پشتیبان و عنصر حفاظت‌شونده (خرابی بر واحد ساعت)،

$F_{cbp}$ : نرخ خرابی مشترک سیستم‌های حفاظت اصلی و پشتیبان (خرابی بر واحد ساعت)،

$F_{ccc}$ : نرخ خرابی مشترک سیستم‌های حفاظت اصلی، پشتیبان و عنصر حفاظت‌شونده (خرابی بر واحد ساعت)،

$ST_b$  و  $ST_p$ : به ترتیب شاخص تأثیرپذیری تست خودبازبینی سیستم‌های حفاظت اصلی و پشتیبان،

$MT_b$  و  $MT_p$ : به ترتیب شاخص تأثیرپذیری تست مانیتورینگ سیستم‌های حفاظت اصلی و پشتیبان،

$R_c$ : نرخ تعمیر عنصر حفاظت‌شونده (تعمیر بر واحد ساعت)،

$R_{bt}$  و  $R_t$ : به ترتیب نرخ بازرسی سیستم‌های حفاظت اصلی و پشتیبان به کمک تست دوره‌ای (بازرسی بر واحد ساعت)،

$R_{bST}$  و  $R_{ST}$ : به ترتیب نرخ بازرسی سیستم‌های حفاظت اصلی و پشتیبان به کمک تست خودبازبینی (بازرسی بر واحد ساعت)،



انجمن مهندسین برق و الکترونیک ایران  
شاخه تهران

## پنجمین کنفرانس تخصصی حفاظت و کنترل سیستمهای

### قدرت

تهران - دانشکده برق و کامپیوتر دانشگاه شهید بهشتی و ۲۱ و ۲۲ دی ماه ۱۳۸۹



دانشکده مهندسی برق و کامپیوتر

### ۳- شبیه‌سازی

برای تحلیل قابلیت اطمینان از نرخ‌های گذار جدول (۱) استفاده شده است [۷]. البته شایان ذکر است که نرخ‌های گذار مربوط به سیستم حفاظت پشتیبان، مشابه نرخ‌های گذار سیستم حفاظت اصلی انتخاب شده است. نرخ‌های گذار  $R_{ST}$  و  $R_{bST}$  برابر ۷۲۰ تست بر ساعت، فرض شده‌اند [۲].

جدول (۱): نرخ‌های گذار لازم برای تحلیل قابلیت اطمینان

$R_c = 0.5$ (repairs per hour)	$F_{bcc} = 10^{-7}$ (failures per hour)
$R_t = 1$ (test per hour)	$F_{bp} = 10^{-7}$ (failures per hour)
$R_{bt} = 1$ (test per hour)	$F_{cc} = 10^{-3}$ (failures per hour)
$R_r = 0.5$ (repairs per hour)	$S_n = 43200$ (operation per hour)
$R_{br} = 0.5$ (repairs per hour)	$S_{bn} = 21600$ (operation per hour)
$R_{bp} = 0.5$ (repairs per hour)	$S_b = 14400$ (operation per hour)
$F_{cc} = 10^{-7}$ (failures per hour)	$S_m = 0.5$ (operation per hour)

نتایج زیر از شبیه‌سازی‌های انجام شده، استخراج شده است.

### ۳-۱- حالت پایه

برای بررسی چگونگی تغییرات زمان بهینه تست دوره‌ای سیستم حفاظتی با تغییر نرخ خرابی عنصر حفاظت‌شونده و نرخ خرابی مدار تست‌های خودبازبینی و مانیتورینگ، یک حالت شبیه‌سازی به عنوان حالت پایه لحاظ شده است. در این حالت فرض شده است که امکان انجام تست‌های خودبازبینی وجود مانیتورینگ برای سیستم‌های حفاظت اصلی و پشتیبان وجود ندارد. همچنین متوسط فاصله زمانی بین دو خرابی برای سیستم‌های حفاظت اصلی و پشتیبان برابر ۵۰ سال و خرابی عنصر حفاظت‌شونده برابر ۲ خطأ در سال در نظر گرفته شده است. فاصله زمانی انجام تست خودبازبینی برابر ۲۵ ساعت لحاظ شده و برای مدار تست‌های خودبازبینی و مانیتورینگ، احتمال خرابی در نظر گرفته نشده است. نتایج حاصل از شبیه‌سازی در شکل‌های (۳) تا (۷) نشان داده شده است.

در صورتی که برای مدار تست‌های خودبازبینی و مانیتورینگ احتمال خرابی لحاظ شود باید احتمال خرابی این مدارها در نرخ‌های گذاری که مربوط به تست‌های خودبازبینی و مانیتورینگ می‌شوند، اعمال گرددند. اگر مدار تست‌های خودبازبینی و مانیتورینگ دچار خرابی شوند، خرابی آن‌ها در تست دوره‌ای بعدی مشخص شده و تعمیر یا جایگزین می‌شوند. دسترس ناپذیری به این مدارها با روابط (۵) محاسبه می‌شود. در روابط (۵)،  $T_c$  فاصله زمانی تست دوره‌ای،  $U_{ST}$  و  $U_{MT}$  به ترتیب دسترس ناپذیری به مدار تست‌های خودبازبینی و مانیتورینگ،  $\lambda_{ST}$  و  $\lambda_{MT}$  به ترتیب نرخ خرابی مدار تست‌های خودبازبینی و مانیتورینگ می‌باشد [۲].

$$\begin{aligned} U_{ST} &= \frac{1}{T_c} \int_0^{T_c} (1 - \exp(-\lambda_{ST} t)) dt \quad \Rightarrow \\ U_{ST} &= 1 - \frac{1}{\lambda_{ST} T_c} (1 - \exp(-\lambda_{ST} T_c)) \\ U_{MT} &= \frac{1}{T_c} \int_0^{T_c} (1 - \exp(-\lambda_{MT} t)) dt \quad \Rightarrow \\ U_{MT} &= 1 - \frac{1}{\lambda_{MT} T_c} (1 - \exp(-\lambda_{MT} T_c)) \end{aligned} \quad (5)$$

روابط (۶) چگونگی محاسبه احتمال حالت‌های شکل (۱) با توجه به مدل مارکوف پیشنهادی، برای تعیین زمان بهینه تست دوره‌ای سیستم حفاظتی را نشان می‌دهند.

$$\begin{aligned} P(I) &= p_1 \\ P(II) &= p_4 + p_9 + p_{1.} + p_{11} + p_{12} + p_{13} \\ P(III) &= p_7 + p_4 + p_5 + p_6 + p_7 + p_8 \\ &\quad + p_{16} + p_{18} + p_{19} + p_{2.} + p_{21} \\ P(IV) &= p_{14} + p_{15} \\ P(V) &= p_{17} \end{aligned} \quad (6)$$



## پنجمین کنفرانس تخصصی حفاظت و کنترل سیستمهای

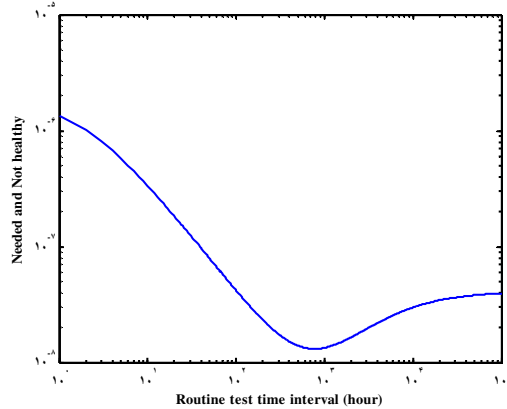
### قدرت

اتحمن مهندسین برق و الکترونیک ایران  
شاخه تهران

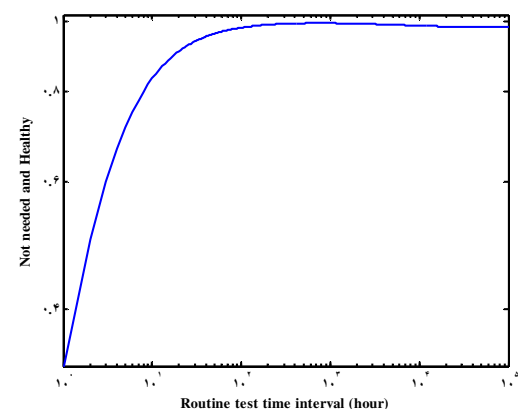
تهران - دانشکده برق و کامپیوتر دانشگاه شهید بهشتی ۲۱ و ۲۲ دی ماه ۱۳۸۹



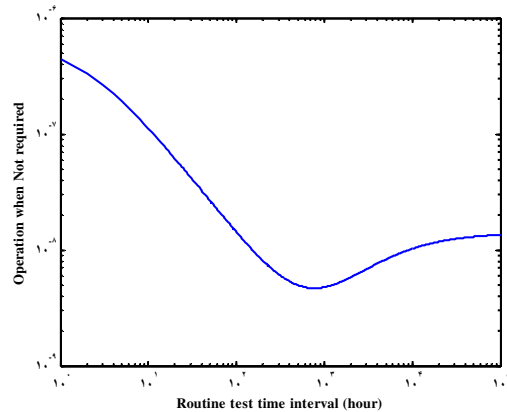
دانشکده مهندسی برق و کامپیوتر



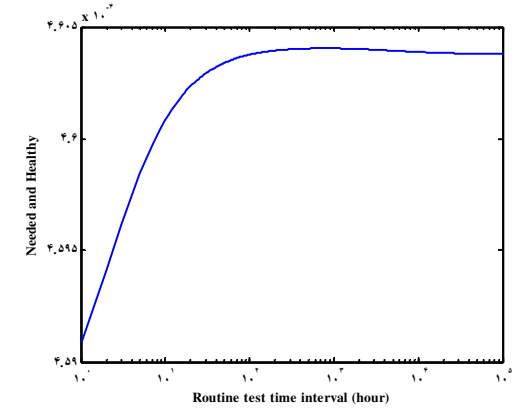
شکل (۶): تغییرات دسترس پذیری غیر عادی به سیستم حفاظتی بر حسب فاصله زمانی تست دوره‌ای



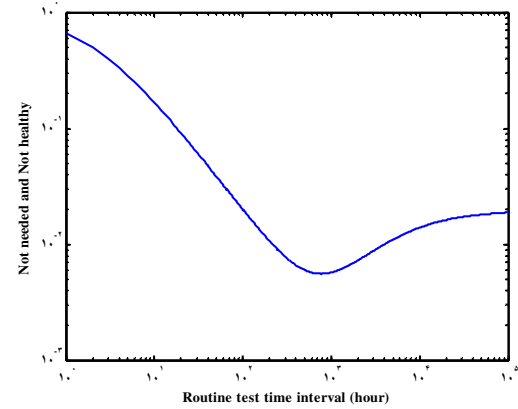
شکل (۳): تغییرات دسترس پذیری به سیستم حفاظتی بر حسب فاصله زمانی تست دوره‌ای



شکل (۷): تغییرات احتمال عملکرد نابجای سیستم حفاظتی بر حسب فاصله زمانی تست دوره‌ای



شکل (۴): تغییرات قابلیت انتکا به سیستم حفاظتی بر حسب فاصله زمانی تست دوره‌ای



شکل (۵): تغییرات دسترس پذیری به سیستم حفاظتی بر حسب فاصله زمانی تست دوره‌ای

با توجه به شکل‌های (۳) تا (۷)، زمان بهینه تست دوره‌ای سیستم حفاظتی برابر ۷۸۰ ساعت است. در زمان بهینه فوق مقدار شاخص دسترس پذیری برابر  $0.9937908$ ، مقدار شاخص قابلیت انتکا برابر  $4.6040388 \times 10^{-4}$ ، مقدار شاخص دسترس ناپذیری به سیستم حفاظتی برابر  $4.0057488 \times 10^{-8}$ ، مقدار شاخص دسترس ناپذیری غیرعادی به سیستم حفاظتی برابر  $1.3481316 \times 10^{-8}$  و در نهایت مقدار شاخص عملکرد نابجای سیستم حفاظتی برابر  $4.8048903 \times 10^{-9}$  می‌باشد.



## پنجمین کنفرانس تخصصی حفاظت و کنترل سیستمهای

### قدرت

انجمن مهندسین برق و الکترونیک ایران  
شاخه تهران

تهران - دانشکده برق و کامپیوتر دانشگاه شهید بهشتی و ۲۱ و ۲۲ دی ماه ۱۳۸۹



دانشکده مهندسی برق و کامپیوتر

صورت عملکرد نامناسب سیستم حفاظتی باید تعیرات پیشگیرانه قبل از زمان مقرر برای انجام تست دوره‌ای انجام شود. در صورتی که برای مدار تست‌های خودبازبینی و مانیتورینگ احتمال خرابی لحاظ نشود، زمان بهینه تست دوره‌ای هنگامی که تعداد خرابی عنصر حفاظت‌شونده برابر ۵ خطأ در سال لحاظ شود به سمت بی‌نهایت میل کرده است که حاکی از عدم نیاز به انجام تست دوره‌ای می‌باشد. اما با در نظر گرفتن احتمال خرابی برای این مدار، زمان بهینه تست دوره‌ای سیستم حفاظتی به ۳۲۸۶۳ ساعت رسیده و حتی برای نرخ خرابی ۱۵ خطأ در سال برای عنصر حفاظت‌شونده، به سمت بی‌نهایت میل نمی‌کند. این نتیجه نشان می‌دهد که با لحاظ کردن احتمال خرابی برای مدارهای مذکور، زمان بهینه تست دوره‌ای افزایش می‌یابد ولی هیچ‌گاه به سمت بی‌نهایت میل نمی‌کند و لزوم انجام تست دوره‌ای را برای سیستم حفاظتی مطالبه می‌کند. بنابراین در نظر گرفتن خرابی برای مدار تست‌های خودبازبینی و مانیتورینگ به طور قابل توجهی بر روی زمان بهینه تست دوره‌ای تأثیرگذار است.

### ۲-۳- تأثیر نرخ خرابی عنصر حفاظت شونده بر روی زمان بهینه تست دورهای سیستم حفاظتی

در این بخش تأثیر نرخ خرابی عنصر حفاظت‌شونده بر روی زمان بهینه تست دورهای سیستم حفاظتی مورد بررسی قرار گرفته است. جدول (۲) نشان‌دهنده نتایج شبیه‌سازی با توجه به تغییرات نرخ خرابی عنصر حفاظت‌شونده با و بدون در نظر گرفتن احتمال خرابی برای مدار تست‌های خودبازبینی و مانیتورینگ می‌باشد. برای انجام شبیه‌سازی احتمال خرابی برای مدار تست‌های خودبازبینی و مانیتورینگ سیستم‌های حفاظت اصلی و پشتیبان به ترتیب برابر  $0/002$  و  $0/005$  خطأ در سال لحاظ شده است [۲]. شاخص تأثیرپذیری تست‌های خودبازبینی و مانیتورینگ سیستم‌های حفاظت اصلی و پشتیبان برابر  $40\%$  و سایر پارامترها، مشابه پارامترهای حالت پایه است.

با توجه به جدول (۲) مشاهده می‌شود که با افزایش نرخ خرابی عنصر حفاظت‌شونده، زمان بهینه تست دورهای افزایش یافته است. چرا که وقوع خرابی به نحوی سیستم حفاظتی را قبل از انجام تست دوره‌ای بعدی تحت آزمایش قرار می‌دهد و در

جدول (۲): تأثیر نرخ خرابی عنصر تحت حفاظت بر شاخص‌های قابلیت اطمینان و زمان بهینه تست دورهای سیستم حفاظتی

$F_c$ (f/yr)	P(I)	P(II)	P(III)	P(IV)	P(V)	$T_c$
بدون لحاظ نمودن احتمال خرابی برای مدار تست‌های خودبازبینی و مانیتورینگ						
۱	$0/9976435$	$2/3225654 \times 10^{-2}$	$0/0021242$	$6/2398776 \times 10^{-9}$	$2/2308908 \times 10^{-9}$	۲۲۹۱
۲	$0/9976433$	$4/6041157 \times 10^{-2}$	$0/0018963$	$5/7840959 \times 10^{-9}$	$2/2361719 \times 10^{-9}$	۳۱۰۲
۳	$0/9976431$	$6/8846246 \times 10^{-2}$	$0/0016684$	$5/32822694 \times 10^{-9}$	$2/2313398 \times 10^{-9}$	۴۸۰۴
۴	$0/9976431$	$9/1640936 \times 10^{-2}$	$0/0014405$	$4/8723972 \times 10^{-9}$	$2/2363944 \times 10^{-9}$	۱۰۶۳۹
۵	-	-	-	-	-	$>100000$
با لحاظ نمودن احتمال خرابی برای مدار تست‌های خودبازبینی و مانیتورینگ						
۱	$0/9976429$	$2/3225654 \times 10^{-2}$	$0/0021249$	$6/2412902 \times 10^{-9}$	$2/2336355 \times 10^{-9}$	۲۲۸۹
۲	$0/9976423$	$4/6041157 \times 10^{-2}$	$0/0018973$	$5/7860148 \times 10^{-9}$	$2/2381116 \times 10^{-9}$	۳۰۹۶
۳	$0/9976416$	$6/8846246 \times 10^{-2}$	$0/0016699$	$5/3312328 \times 10^{-9}$	$2/2373277 \times 10^{-9}$	۴۷۷۳
۴	$0/9976400$	$9/1640936 \times 10^{-2}$	$0/0014437$	$4/8787738 \times 10^{-9}$	$2/2385220 \times 10^{-9}$	۱۰۰۸۵
۵	$0/9976254$	$0/0011443$	$0/0012303$	$4/4020209 \times 10^{-9}$	$2/24819739 \times 10^{-9}$	۳۲۸۶۳
۱۰	$0/9970056$	$0/0022819$	$7/1241613 \times 10^{-2}$	$3/4149745 \times 10^{-9}$	$2/6610096 \times 10^{-9}$	۱۰۲۵۶۷
۱۵	$0/9970521$	$0/0034170$	$5/3090754 \times 10^{-2}$	$3/051413 \times 10^{-9}$	$3/29710562 \times 10^{-9}$	۱۳۶۵۷۷

جدول (۳): حساسیت شاخص‌های قابلیت اطمینان و زمان بهینه تست دورهای سیستم حفاظتی به نرخ خرابی مدارها

$\lambda$ (f/yr)	P(I)	P(II)	P(III)	P(IV)	P(V)	$T_c$
------------------	------	-------	--------	-------	------	-------



## پنجمین کنفرانس تخصصی حفاظت و کنترل سیستمهای

### قدرت

اتجمن مهندسین برق و الکترونیک ایران  
شاخه تهران

تهران - دانشکده برق و کامپیوتر دانشگاه شهید بهشتی ۲۱ و ۲۲ دی ماه ۱۳۸۹



دانشکده مهندسی برق و کامپیوتر

با تغییر نرخ خرابی مدار تست خودبازبینی سیستم حفاظت پشتیبان و $\lambda_{bST} = 0/0005$ , $\lambda_{MT} = \lambda_{bMT} = 0/0002$ و $ST_b = 0/9$						
۰/۰۰۰۵	۰/۹۹۸۴۷۳۶	۷/۸۸۴۶۴۱۵×۱۰ <sup>-۲</sup>	۸/۳۷۹۲۹۲۶×۱۰ <sup>-۱</sup>	۳/۶۲۸۹۳۹۴×۱۰ <sup>-۹</sup>	۱/۶۸۲۲۳۱۷×۱۰ <sup>-۹</sup>	۳۴۸۵
۰/۰۰۱	۰/۹۹۸۴۷۱۰	۷/۸۸۴۶۴۱۵×۱۰ <sup>-۲</sup>	۸/۴۰۴۸۸۰۹×۱۰ <sup>-۱</sup>	۳/۶۷۴۰۵۳۱×۱۰ <sup>-۹</sup>	۱/۶۸۳۹۳۶۲×۱۰ <sup>-۹</sup>	۳۱۶۴۱
۰/۰۰۲	۰/۹۹۸۴۶۶۶	۷/۸۸۴۶۴۱۵×۱۰ <sup>-۲</sup>	۸/۴۵۰۰۱۳۷×۱۰ <sup>-۱</sup>	۳/۶۸۳۰۷۰۱×۱۰ <sup>-۹</sup>	۱/۶۸۶۹۴۱۹×۱۰ <sup>-۹</sup>	۲۷۶۷۶
۰/۰۰۴	۰/۹۹۸۴۵۸۹	۷/۸۸۴۶۴۰۹×۱۰ <sup>-۲</sup>	۸/۵۲۵۸۷۶۴×۱۰ <sup>-۱</sup>	۳/۶۹۸۲۲۵۹۳×۱۰ <sup>-۹</sup>	۱/۷۹۱۹۹۳۹×۱۰ <sup>-۹</sup>	۲۲۲۴۷
۰/۰۰۸	۰/۹۹۸۴۴۶۸	۷/۸۸۴۶۴۰۹×۱۰ <sup>-۲</sup>	۸/۶۴۷۹۴۸۹×۱۰ <sup>-۱</sup>	۳/۷۲۲۶۱۸۹۳×۱۰ <sup>-۹</sup>	۱/۷۰۰۱۲۵۰×۱۰ <sup>-۹</sup>	۱۸۹۴۴
با تغییر نرخ خرابی مدار تست مانیتورینگ سیستم حفاظت پشتیبان و $\lambda_{bST} = 0/0005$ , $\lambda_{MT} = 0/0002$ و $ST_b = 0/9$						
۰/۰۰۰۱۲۵	۰/۹۹۸۰۱۱	۷/۸۸۴۶۴۲۱×۱۰ <sup>-۲</sup>	۸/۱۰۴۲۰۰۸×۱۰ <sup>-۱</sup>	۳/۶۱۳۹۷۴۰×۱۰ <sup>-۹</sup>	۱/۶۶۳۹۰۹۷۱×۱۰ <sup>-۹</sup>	۳۷۸۸۴
۰/۰۰۰۲۵	۰/۹۹۸۰۰۳	۷/۸۸۴۶۴۲۱×۱۰ <sup>-۲</sup>	۸/۱۱۱۵۵۵۴×۱۰ <sup>-۱</sup>	۳/۶۱۵۴۴۳۵۱×۱۰ <sup>-۹</sup>	۱/۶۶۴۳۹۹۵۱×۱۰ <sup>-۹</sup>	۳۶۶۸۳
۰/۰۰۰۵	۰/۹۹۸۴۹۹۰	۷/۸۸۴۶۴۲۱×۱۰ <sup>-۲</sup>	۸/۱۲۵۵۶۴۲۱×۱۰ <sup>-۱</sup>	۳/۶۱۸۲۴۲۶۱×۱۰ <sup>-۹</sup>	۱/۶۶۵۳۳۲۵۱×۱۰ <sup>-۹</sup>	۳۴۶۵۴
۰/۰۰۱	۰/۹۹۸۴۹۶۶	۷/۸۸۴۶۴۲۱×۱۰ <sup>-۲</sup>	۸/۱۵۱۳۶۵۳×۱۰ <sup>-۱</sup>	۳/۶۲۳۳۹۷۸۱×۱۰ <sup>-۹</sup>	۱/۶۶۷۰۵۹۱×۱۰ <sup>-۹</sup>	۳۱۵۹۷
۰/۰۰۲	۰/۹۹۸۴۹۱۸	۷/۸۸۴۶۴۲۱×۱۰ <sup>-۲</sup>	۸/۱۹۸۳۷۷۲×۱۰ <sup>-۱</sup>	۳/۳۲۴۸۳۴۱×۱۰ <sup>-۹</sup>	۱/۶۷۰۰۷۹۵۱×۱۰ <sup>-۹</sup>	۲۷۶۲۳

مانیتورینگ از ۰/۰۰۲٪ خرابی در سال به ۰/۰۰۰۱۲۵٪ خرابی در سال، زمان بهینه تست دوره‌ای ۱/۳۷ برابر شده است.

#### ۴- نتیجه گیری

در این مقاله تأثیر نرخ خرابی عنصر حفاظتشونده و نرخ خرابی مدار تست‌های خودبازبینی و مانیتورینگ سیستم حفاظت پشتیبان بر روی زمان بهینه تست دوره‌ای بررسی شده است. برای تعیین زمان بهینه تست دوره‌ای، یک مدل مارکوف توسعه یافته با در نظر گرفتن احتمال خرابی برای سیستم حفاظت پشتیبان پیشنهاد شده است. همچنین در مدل مارکوف پیشنهادی امکان انجام تست‌های خودبازبینی و مانیتورینگ لحظه شده است. نتایج این مطالعه نشان می‌دهد که با افزایش نرخ خرابی عنصر حفاظتشونده، زمان بهینه تست دوره‌ای بیشتر می‌شود. همچنین زمان بهینه تست دوره‌ای با کاهش نرخ خرابی مدار تست‌های خودبازبینی و مانیتورینگ سیستم حفاظت پشتیبان به طور قابل ملاحظه‌ای افزایش می‌یابد. بنابراین لحظه نمودن تأثیر سیستم حفاظت پشتیبان در تعیین دقیق‌تر زمان بهینه تست دوره‌ای سیستم حفاظتی ضروری به نظر می‌رسد.

#### مراجع

- [۱] G. F. Johnson, "Reliability consideration of multifunction protection," *IEEE Trans. Industry Applications*, Vol. ۳۸, No. ۶, pp. ۱۶۸۸-۱۸۰۰,

#### ۳-۳- تأثیر نرخ خرابی مدار تست‌های خودبازبینی و مانیتورینگ سیستم حفاظت پشتیبان بر روی زمان بهینه

##### تست دوره‌ای سیستم حفاظتی

در این بخش میزان حساسیت زمان بهینه تست دوره‌ای به نرخ خرابی مدار تست‌های خودبازبینی و مانیتورینگ سیستم حفاظت پشتیبان، مورد بررسی قرار گرفته است. نتایج شبیه‌سازی در جدول (۳)، نشان داده شده است. برای انجام شبیه‌سازی، شاخص تأثیرپذیری تست‌های خودبازبینی و مانیتورینگ سیستم حفاظت اصلی برابر ۴۵٪ لحظه شده است. متوسط فاصله زمانی بین خرابی‌های سیستم‌های حفاظتی ۱۰۰ سال، خرابی عنصر حفاظت‌شونده ۳ خطای در سال لحظه شده و سایر پارامترها، مشابه پارامترهای حالت پایه است

با توجه به نتایج جدول (۳) نرخ خرابی مدار تست‌های خودبازبینی و مانیتورینگ سیستم حفاظت پشتیبان می‌تواند تأثیر بسزایی بر روی زمان بهینه تست دوره‌ای داشته باشد. به عنوان نمونه با افزایش نرخ خرابی مدار تست خودبازبینی سیستم حفاظت پشتیبان از ۰/۰۰۰۵٪ خرابی در سال به ۰/۰۰۸٪ خرابی در ۱۸۹۴۴ سال، زمان بهینه تست دوره‌ای از ۳۴۶۸۵ ساعت به ۳۶۶۸۳ ساعت کاهش یافته است. با کاهش نرخ خرابی مدار تست



*Conference*, pp. ۲۵۴-۲۵۷, ۲۰۰۱.

- [۱۱] H. Seyedi, M. Fotuhi-Firuzabad and M. Sanaye-Pasand, "An Extended Markov Model to Determine the Reliability of Protective System," *IEEE Power India Conference*, April ۲۰۰۶.
- [۱۲] L. Wang, G. Wang and Z. Sun, "Determination of the Optimum Routine Maintenance Intervals for Protective Systems," *IEEE Power Engineering Society General Meeting*, July ۲۰۰۹.
- [۱۳] Y. Damchi and J. Sadeh, "Considering Failure Probability for Back-up Relay in Determination of the Optimum Routine Test Interval in Protective System Using Markov Model," *IEEE Power Engineering Society General Meeting*, July ۲۰۰۹.
- [۱۴] یاسر دامچی، جواد ساده "لحاظ نمودن سیستم حفاظت پشتیبان در تعیین زمان بهینه تست دوره‌ای سیستم حفاظتی" هجدۀ مهندسین کنفرانس مهندسی برق ایران، دانشگاه صنعتی اصفهان، اردیبهشت ۱۳۸۹.
- [۱۵] R. Billinton and R. N. Allan, *Reliability Evaluation of Engineering Systems*, New York: Plenum, ۱۹۹۴.

Nov/Dec. ۲۰۰۲.

- [۲] R. Billinton, M. Fotuhi-Firuzabad and T.S. Sidhu, "Determination of the Optimum Routine Test and Self-checking Intervals in Protective Relaying Using a Reliability Model," *IEEE Transactions on Power Systems*, Vol. ۱۷, No. ۳, pp. ۶۶۳-۶۶۹, Aug. ۲۰۰۲.
- [۳] J. Sykes, V. Madani, J. Burger, M. Adamiak and W. Premerlani, "Reliability of Protection Systems (What Are the Real Concerns)," *IEEE Protective Relays Engineers Conference* ۲۰۱۰.
- [۴] K. Mazlumi and H.A. Abyaneh, "Relay Coordination and Protection Failure Effects on Reliability Indices in an Interconnected Sub-Transmission System," *Electric Power Systems Research*, Vol. ۷۹, No. ۷, pp. ۱۰۱۱-۱۰۱۷, July ۲۰۰۹.
- [۵] X. Yu and C. Singh, "Power System Reliability Analysis Considering Protection Failures," *IEEE Power Engineering Society Summer Meeting*, pp. ۹۶۳-۹۶۸, July ۲۰۰۲.
- [۶] P.M. Anderson and S.K. Agarwal, "An Improved Model for Protective System Reliability," *IEEE Transactions on Reliability*, Vol. ۴۱, No. ۳, pp. ۴۲۲-۴۲۶, Sep. ۱۹۹۲.
- [۷] J.J. Kumm, M.S. Weber, D. Hou and E.O. Schweitzer, "Predicting The Optimum Routine Test Interval For Protection Relays," *IEEE Transactions on Power Delivery*, Vol. ۱۰, No. ۲, pp. ۶۵۹-۶۶۵, April ۱۹۹۵.
- [۸] J.J. Meeuwsen, W.L. Kling and W.A.G.A. Ploem, "The Influence of Protection System Failures and Preventive Maintenance on Protection Systems in Distribution Systems," *IEEE Transactions on Power Delivery*, Vol. ۱۲, No. ۱, pp. ۱۲۵-۱۳۳, Jan. ۱۹۹۷.
- [۹] S.T.J.A. Vermeulen, H. Rijanto and F.A.D Schouten, "Modeling the Influence of Preventive Maintenance on Protection System Reliability Performance", *IEEE Transactions on Power Delivery*, Vol. ۱۳, pp. ۱۰۲۷-۱۰۳۲, No. ۴, Oct. ۱۹۹۸.
- [۱۰] K. Kangvansaichol, P. Pittayapat and B. Euaporn, "Optimal Routine Test Intervals for Pilot Protection Schemes Using Probabilistic Methods," *IEE Power System Protection*